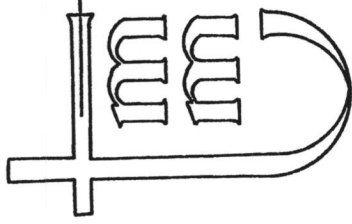


IFTOM - JUGOSLOVENSKI NACIONALNI KOMITET



III JUGOSLOVENSKI SIMPOZIJUM
MAŠINE I MEHANIZMI, UNIVERZITETSKA
ISTRAŽIVANJA I PRIMENA U INDUSTRIJI

Mostar, 22,23. i 24. maj 1980.

Rad broj: A-3 str. 23+34

UZNAPENDUNG EINER REGELMÄSSIGEN
SECHSGLIEDRIGEN TETRAEDERKETTE

Walter WUNDERLICH, Professor
der Geometrie an der Techni-
schen Universität Wien

1. Einleitung

Ein starrer Körper besitzt im dreidimensionalen Raum eine Beweglichkeit vom Freiheitsgrad 6. Durch Anbringen eines zylindrischen Drehgelenks wird die Bewegung auf eine Drehung vom Freiheitsgrad 1, also um 5 Einheiten reduziert. Bildet man daher eine geschlossene Kette aus n starren Gliedern, wobei je zwei benachbarte durch ein Zylindergelenk verbunden sind, so entsteht bei Fixierung eines Gliedes ein Getriebe mit dem Freiheitsgrad $f = 6(n-1) - 5n = n - 6$. Die Kette wird daher erst ab $n > 6$ eine Formation gestatten.

Für $n \leq 6$ kann aber bei speziellen Abmessungen trotzdem Beweglichkeit auftreten. Für $n = 3$ besteht naturgemäß stets Starrheit. Für $n = 4$ ist Beweglichkeit vorhanden, falls die Gelenkkachsen parallel sind oder in einem Punkt zusammenlaufen (ebene und sphärische Gelenkvierecke), ferner beim "Isogramm" (windschiefen Parallelogramm) von G.T.BENNETT, dessen Achsen im allgemeinen

windschief sind [1]. Das unterschiedliche Verhalten von viergliedrigen Ketten, realisierbar durch Tetraeder, die längs gemeinsamer Kanten gelenkig verbunden sind, wurde in [6] behandelt. Über bewegliche fünfgliedrige Ketten weiß man noch sehr wenig [3]; ein durch Verschmelzung zweier Isogramme gewonnenes Beispiel hat M. GOLDBERG [4] angegeben.

Für sechsgliedrige Ketten hat R. BRICARD [5] ein hinreichendes (jedoch keineswegs notwendiges) Kriterium erkannt: Bilden die sechs Gelenkkachsen zwei Trieder, bei welchen die Kanten eines normal zu den Seitenflächen des anderen sind, so liegt ein zwangsläufig bewegliches Getriebe vor. Die Gemeinlote benachbarter Achsen bilden ein geschlossenes Sechseck, das den Schnitt der beiden Trieder darstellt. -- Die Bewegung der Bricardschen Kette ist im allgemeinen recht kompliziert und kaum ausreichend geklärt. Ausgenommen ist lediglich die "regelmäßige" Kette mit durchwegs gleichen Achsenabständen, die von V. BRÁT [2] und unlängst wieder von S. KUNZE und H. STACHEL [5] untersucht wurde; hier bilden die beiden Achsentrieder in der Mittelstellung einen Würfel. Dieses "Würfelgetriebe", das auch eine praktische Anwendung gefunden hat (Abschnitt 4), soll nun nochmals von einem anderen Gesichtspunkt aus betrachtet werden.

2. Würfelgetriebe

Sei $EE'FF'$ ein zweifach orthogonal-symmetrisches Tetraeder mit den Kantenlängen $EE' = FF' = 2c$ und $EF = EF' = b$. Der Abstand der einander rechtwinklig kreuzenden Kanten EE' und FF' sei mit a bezeichnet. Es gilt dann die Beziehung $b^2 = a^2 + 2c^2$. Dieses Tetraeder werde nun mit seinen Kanten EE' und FF' in zwei unter 60° gegeneinander geneigte Ebenen ϵ_1 und ϵ_2 eingesetzt, die in kartesischen Koordinaten durch $x \pm y\sqrt{3} = 0$ angegeben sein mögen. Durch fortgesetzte Spiegelung an den beiden Ebenen entsteht dann wie in einem Kaleidoskop eine Kette aus sechs kongruenten Tetraedern (Abb.1). Bedenkt man, dass die Neigung etwa der Kante EE' noch variabel ist, so erkennt man, dass die Kette eine zwangsläufige Deformation gestattet, wenn die Verbindungen längs der gemeinsamen Tetraederkanten gelenkig ausgeführt werden. Dies steht auch in Einklang mit dem Bricardschen

Kriterium, da je zwei benachbarte Gelenkkachsen orthogonal sind.¹⁾

Aus der Abstandsstrecke A_1B_2 der Achsen EE' und FF' , geht durch die Spiegelungen ein geschlossenes Sechseck $A_1B_3A_2B_1A_2B_3$ mit der Seitenlänge a hervor, dessen Diagonalen A_1B_1 , A_2B_2 und A_3B_3 einander aus Symmetriegründen in einem Punkt O der z -Achse begegnen; dieser Punkt wird im folgenden als Koordinatenursprung benutzt.

Zur quantitativen Analyse der Bewegung sei der Neigungswinkel der Gelenkkante EE' gegen die xy -Ebene mit φ bezeichnet, jener von FF' mit φ' (Abb.2). Einheitsvektoren in den Achsenrichtungen können dann angesetzt werden mit

$$(2.1) \quad \begin{aligned} \underline{e} &= (\frac{1}{2}\sqrt{3} \cos \varphi, -\frac{1}{2} \cos \varphi, -\sin \varphi), \\ \underline{e}' &= (\frac{1}{2}\sqrt{3} \cos \varphi', \frac{1}{2} \cos \varphi', \sin \varphi'). \end{aligned}$$

Die Orthogonalität $EE' \perp FF'$ liefert über $\underline{e} \cdot \underline{e}' = 0$ die Relation

$$(2.2) \quad \operatorname{tg} \varphi \cdot \operatorname{tg} \varphi' = \frac{1}{2}.$$

Sind r und r' die Beträge der Ortsvektoren $\Sigma = OA_1$ bzw. $\Sigma' = OB_2$, ferner ψ bzw. $\psi' = -\psi$ deren Neigungswinkel gegen die xy -Ebene, so werden diese Vektoren dargestellt durch

¹⁾ eine allgemeinere, gleichfalls zwangsläufige Kette würde entstehen, wenn der Spiegelungsprozess auf ein beliebiges, in den Ebenenpaar eingepasstes Tetraeder angewendet würde. Hier ist das Bricardische Kriterium dann nicht mehr erfüllt, weil benachbarte Gelenkkachsen nicht orthogonal sind.

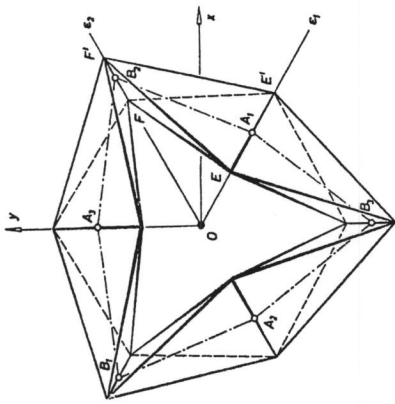


Abb.1

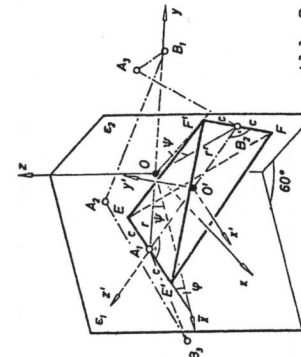


Abb.2

$$(2.3) \quad \begin{aligned} \underline{x} &= \frac{r}{2}(\sqrt{3}\cos\psi, -\cos\psi, 2\sin\psi), \\ \underline{x}' &= \frac{r}{2}(\sqrt{3}\cos\psi, \cos\psi, -2\sin\psi). \end{aligned}$$

Die vorhandenen rechten Winkel $\underline{EE}' \perp \underline{A}_1 \underline{B}_2 \perp \underline{FF}'$ führen dann über $\underline{e}(\underline{r}'-\underline{r}) = \underline{e}'(\underline{r}'-\underline{r}) = 0$ auf die Beziehungen

$$(2.4) \quad \operatorname{tg} \varphi = \frac{2r-r'}{2(r+r')} \cot\psi, \quad \operatorname{tg} \varphi' = \frac{2r'-r}{2(r+r')} \cot\psi.$$

Die Länge $A_1 B_2 = a$ liefert ferner über $(\underline{r}'-\underline{r})^2 = a^2$ die Bedingung

$$(2.5) \quad (r+r')^2 = 3rr' \cos^2\psi + a^2.$$

Das Produkt der Formeln (2.4) ergibt mit Rücksicht auf (2.2):

$$(2.6) \quad 2(r+r')^2 = 9rr' \cos^2\psi.$$

Die Elimination von ψ aus (2.5) und (2.6) zieht schließlich die Konstanz der Diagonallänge

$$(2.7) \quad d = r+r' = a\sqrt{3}$$

nach sich -- ein merkwürdiger Umstand, der schon in [5] bemerkt wurde und die allgemeine Untersuchung [7] von windschiefen Gelenksechsecken mit schneidenden Diagonalen anregte.

3. Knotenbahn

Mit (2.7) folgt aus (2.6) die wichtige Abhängigkeit

$$(3.1) \quad r(\underline{d}-\underline{r}) \cos^2\psi = \frac{2}{9}d^2.$$

Sie beschreibt in Polarkoordinaten r, ψ die Bahn k_0 , welche der "Knotenpunkt" A_1 in der Ebene ε_1 bei der Umwendung der Tetraederkette durchläuft. Geht man in ε_1 zu kartesischen Koordinaten $\bar{x} = r \cos\psi, z = r \sin\psi$ über, so gelangt man zur Gleichung

$$(3.2) \quad (\bar{x}^2 + z^2)(\bar{x}^2 + \frac{2}{9}d^2)^2 = d^2 r^4.$$

Bei der Knotenbahn k_0 handelt es sich mithin um eine doppelt symmetrische, monozirkuläre Kurve 6. Ordnung (Sextik), die aus zwei kongruenten Ovalen besteht (Abb. 3) und in 0 einen isolierten Doppelpunkt hat.

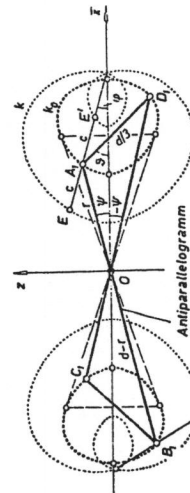


Abb. 3

Wie aus der Polargleichung (3.1) zu entnehmen ist, wird die Sextik k_0 nicht bloss vom Knoten $A_1(r, \psi)$ durchlaufen, sondern gleichzeitig auch von den Punkten $B_1(d-r, \psi+\pi), C_1(r, \pi-\psi)$ und $D_1(d-r, -\psi)$. Man rechnet leicht nach, dass auch Konstanz der Entfernung $A_1 D_1 = B_1 C_1 = d/3$ besteht. Die vier Punkte bilden daher ein Antiparallelogramm $A_1 B_1 C_1 D_1$ mit dem Seitenverhältnis $3:1$. Für den Neigungswinkel ϑ der kürzeren Seiten gegen die xy -Ebene liest man aus Abb. 3 die Relation

$$(3.3) \quad \sin\vartheta = 3 \sin\psi$$

ab. Daneben gilt noch die aus (3.1) oder anschaulicher durch Projektion des Antiparallelogramms auf die \bar{x} -Achse folgende Formel

$$(3.4) \quad r = \frac{d}{2} - \frac{d}{6} \cos\vartheta.$$

Der Winkel ϑ eignet sich gut als Bewegungsparameter und erlaubt mit (3.3) auch eine bequeme konstruktive Behandlung.

In der Ausgangslage $\vartheta = 0$ ($\psi = \varphi = 0, r = d/3$) der Tetraederkette liegt die Gelenkkurve EE' in der xy -Ebene, während FF' normal dazu ist. Das Knotensechseck $A_1 B_2 A_2 B_1 C_1 D_1$ erscheint zu einem gleichseitigen Dreieck $B_1 B_2 B_3$ mit der Seitenlänge $2a$ gestreckt. Damit einander die Tetraeder nicht gegenseitig behindern, muss also $c \leq d/3 = a/\sqrt{3}$ sein. Für die in Abschnitt 2 erwähnte Kantenlänge b ist daher $b > c\sqrt{5}$ zu fordern; aus regulären Tetraedern ($b = 2c$) lässt sich demnach keine umwendbare Kette bilden. -- In der Mittelstellung $\vartheta = \pi/2$ ($\psi_{\max} = \arcsin(1/3) = 19,47^\circ, r = d/2$) haben alle Gelenkkästen dieselbe Neigung $\varphi = \varphi' = \operatorname{arctg}(1/\sqrt{2}) = 35,26^\circ$; sie bilden sechs Kanten eines Würfels, dem auch das Knotensechseck angehört. -- Nach halber Umwendung $\vartheta = \pi$ ($\psi = 0, \varphi = \pi/2, r = 2d/3$) steht die Gelenkkurve EE' normal zur xy -Ebene, während FF' in ihr liegt; das Knotensechseck ist neuwlich zu einem gleichseitigen Dreieck $A_1 A_2 A_3$ entartet.

Ohne auf Einzelheiten einzugehen, sei noch mitgeteilt, dass die gemeinsame, ebenfalls in der Ebene ε_1 verlaufende Bahn k der Tetraederecken E und E' eine aus Abb. 3 ersichtliche Schleifenform hat; sie erinnert etwas an eine Pascalschnecke, ist aber Bestandteil einer aus zwei solchen Schleifen bestehenden algebrischen Kurve 12. Ordnung.

4. Schüttelmaschine

Die von P. SCHATTZ entwickelte Schüttelmaschine "Turbula" der Schweizer Firma W.A. Bachofen [2,5] beruht auf der hier betrachteten Würfelkette. Jetzt ist jedoch die Symmetrieebene ϵ_1 fest zu denken und in ihr die beiden Knoten A_1 und B_2 , die ja den unveränderlichen Abstand d haben. Verwendet wird nur die halbe Kette $A_1B_2A_3B_1$, deren Mittelglied B_2A_3 das Schüttelgut trägt. Der Antrieb erfolgt in der Weise, dass das Zylindergelenk bei A_1 um eine zu ϵ_1 normale Achse gedreht wird (Abb.4).

Um eine allgemeine Position des Getriebes zu gewinnen, mag man von einer beliebigen Stellung des Antiparallelogramms $A_1B_1C_1D_1$ ausgehen. Die zu seiner in ϵ_1 verlaufenden Symmetriechse 2 durch A_1 gelegte Normalebene α enthält auch die Knoten A_2 und A_3 , deren gemeinsame Normalprojektion auf ϵ_1 in die Mitte zwischen C_1 und Z fällt, weil $A_1A_2A_3$ ein gleichseitiges Dreieck ist; ihr Abstand von ϵ_1 ergibt sich aus dem Umstand,

sich aus dem Umstand, dass sie von B_1 die Entfernung $a = d/\sqrt{3}$ haben, also auf einer bekannten Kugel liegen. In analoger Weise sind die Knoten B_2 und B_3 zu finden.

Im Hinblick darauf, dass die Projektion des Punktes B_2 auf ϵ_1 durch eine zentrische Ähnlichkeit mit dem Zentrum B_1 und dem

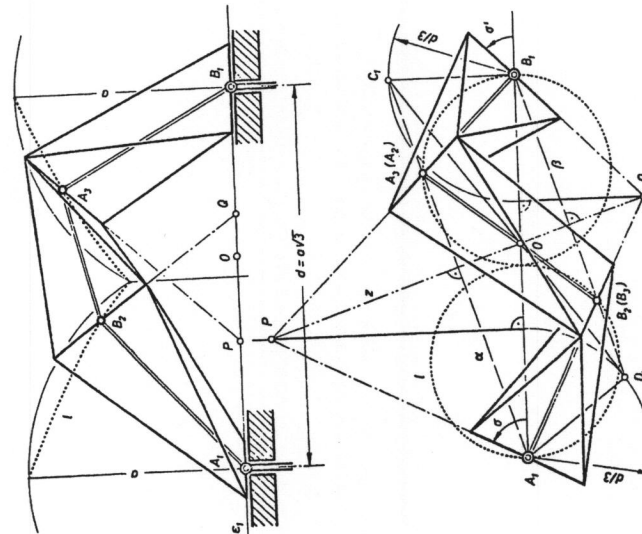


Abb.4

Faktor 3:4 aus V_1 hervorgeht, erscheint der Bildpunkt von B_2 an einen zum Bahnkreis von D_1 ähnlichen Kreis mit dem Radius $d/4$ gebunden. Hieraus folgt, dass der Knoten B_2 selbst auf einer sphärischen Raumkurve 1 wandert (Abb.4).

Der Triederscheitel P , in welchem die Gelenkkachsen von A_1 , A_2 und A_3 zusammenlaufen, variiert auf einer zu A_1B_1 normalen Geraden, welche von der Strecke $A_1B_1 = d$ ein Drittel abschneidet (Abb.4). Der Beweis dafür ist elementar und kann mit Hilfe von Peripheriewinkelsätzen im Kreis A_1PB_1Q geführt werden. Analog wandert auch der Scheitel Q des Achsentrieders von B_1, B_2, B_3 auf einer Normalen zu A_1B_1 . Hieraus ist unmittelbar abzulesen, dass die Gelenkkachsen von A_1 und B_1 zwei projektive Strahlbüschel in ϵ_1 durchlaufen; zwischen dem Antriebswinkel σ und dem Abtriebswinkel σ' besteht die Relation

$$(4.1) \quad \operatorname{tg} \sigma \cdot \operatorname{tg} \sigma' = 2.$$

5. Relativbewegung gegenüberliegender Kettenglieder

Für ein weitergehendes Studium der Bewegung eines Kettengliedes gegenüber dem ruhenden System $(0; x, y, z)$ wird ein mit dem Tetraeder $EE'FF'$ fest verbundenes Gangkreuz $(0'; x', y', z')$ einzuführen sein. Unter Anpassung an die Symmetrien des Tetraeders mag man den Ursprung O' in der Mitte der Strecke A_1B_2 annehmen (Abb.2) und die Achsenrichtungen durch die in (1.1) vermerkten Einheitsvektoren e und e' festsetzen, ergänzt durch $e'' = e \times e' = (r - \underline{r})/a$. Drückt man hierbei die auftretenden Winkelfunktionen durch den Parameter r aus, so erhält man über (2.3), (2.7) und (3.1) für O' die Koordinaten

$$(5.1) \quad x_o = \frac{d^2}{2\sqrt{6}r(d-r)}, \quad y_o = \frac{d(d-2r)}{6\sqrt{2}(d-r)}, \quad z_o = \frac{(2r-d)\sqrt{(3r-d)(2d-3r)}}{6\sqrt{r(d-r)}},$$

ferner mit Benützung von (2.4) für die Richtungsvektoren die Komponentendarstellungen

$$(5.2) \quad \underline{e} = (\sqrt{\frac{2d-r}{2(d-r)}}, -\sqrt{\frac{2d-3r}{6(d-r)}}, -\sqrt{\frac{3r-d}{3(d-r)}}),$$

$$(5.3) \quad \underline{e}' = (\sqrt{\frac{2r-d}{2r}}, \sqrt{\frac{2r-d}{6r}}, \sqrt{\frac{2d-3r}{3r}}),$$

$$(5.4) \quad \underline{e}'' = (-\frac{2r-d}{\sqrt{2r(d-r)}}, -\frac{d}{\sqrt{6r(d-r)}}, \sqrt{\frac{(3r-d)(2d-3r)}{3r(d-r)}}).$$

Der Übergang vom Gangsystem zum Rastsystem vollzieht sich dann mittels der Transformation

$$(5.5) \quad \underline{x} = \underline{x}_0 + x' \underline{e} + y' \underline{e}' + z' \underline{e}'' ,$$

wobei $\underline{x} = (x, y, z)$ und $\underline{x}_0 = (x_0, y_0, z_0)$.

Ein bemerkenswertes Resultat stellt sich beispielsweise bei der Untersuchung der Relativbewegung zweier gegenüberliegenden Kettenglieder ein. Da etwa das Tetraeder EE'FF' und sein Gegenüber stets spiegelbildlich zur festen yz-Ebene liegen (Abb. 1), so ist deren Relativbewegung eine "symmetrische Rollung", bei welcher die von der Wälzebene $x=0$ eingehüllte Torsse Θ auf einer kongruenten rollt.

Dieses abwickelbare Axoid Θ erscheint einem Beobachter im System $(0'; x', y', z')$ zufolge (5.1-5) als Hüllgebilde der von $x=0$ erzeugten Ebenenschar

$$(5.6) \quad \sqrt{r(2d-3r)} \cdot x' + \sqrt{(d-r)(3r-d)} \cdot y' + (2r-d) \cdot z' + d^2/2\sqrt{3} = 0$$

und ist demnach im Sinne der projektiven Geometrie dual zu der Raumkurve q mit der (kartesischen) Parameterdarstellung

$$(5.7) \quad \xi = \sqrt{r(2d-3r)}, \quad \eta = \sqrt{(d-r)(3r-d)}, \quad \zeta = 2r-d.$$

Drückt man hierin r durch ζ aus, so hat man

$$(5.8) \quad r = \frac{1}{2}(d+\zeta), \quad 2d-3r = \frac{1}{2}(d-3\zeta), \quad d-r = \frac{1}{2}(d+3\zeta).$$

Die Kurve q ist mithin der Schnitt zweier (kongruenter) elliptischer Zylinder

$$(5.9) \quad 4\xi^2 + 3\zeta^2 + 2d\xi = d^2, \quad 4\eta^2 + 3\zeta^2 - 2d\zeta = d^2,$$

also eine Raumkurve 4. Ordnung (affin zur sogenannten "Tennisballkurve").

Für das Axoid Θ folgt hieraus, dass es eine Torsse 4. Klasse ist. Bei Identifikation der Achsenkreuze (ξ, η, ζ) und (x', y', z') wird der Zusammenhang zwischen q und Θ vermittelt durch das Polarsystem der nullteiligen Kugel $x'^2 + y'^2 + z'^2 + d^2/2\sqrt{3} = 0$. Den beiden elliptischen Trägerzylinndern (5.9) von q entsprechen ver möge dieser Polarität zwei Doppelkegelschnitte von Θ in den Ebenen $y' = 0$ und $x' = 0$. Man findet hierfür zwei Kreise mit den Gleichungen

$$(5.10) \quad y' = 0, \quad x'^2 + (z' + e/2)^2 = a^2; \quad x' = 0, \quad y'^2 + (z' - e/2)^2 = a^2,$$

wobei wieder $e = a\sqrt{3}$ gesetzt wurde. Dieses schon in [5] enthaltene Ergebnis ist nicht weiter erstaunlich, wenn man bedenkt, dass etwa der erste Kreis die Kante FF' zur Rotationsachse hat, daher durch den Punkt A_3 geht, dort die Gelenkachse und damit auch die Wälzebene $x=0$ berührt. -- Lässt in Rede stehende Axoid Θ kann demnach als die konvexe Hülle des Kreispaars (5.10) begrenzt die Verbindungsstrecke der beiden Kreise aufgefasst werden (Abb. 5).

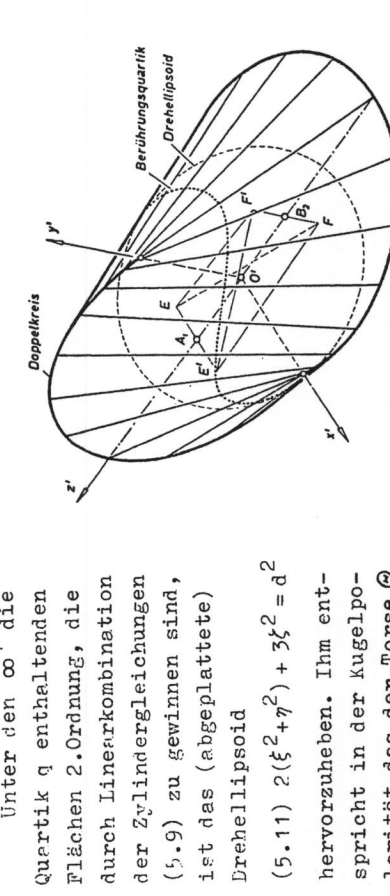


Abb. 5

$$(5.11) \quad 2(\xi^2 + \eta^2) + 3\zeta^2 = d^2$$

hervorzuheben. Ihm entspricht in der Kugelpolarität das der Torsse Θ berührend eingeschriebene (eiförmige) Dreihellipsoide

$$(5.12) \quad 6(x'^2 + y'^2) + 4z'^2 = d^2,$$

welches die Knoten A_1 und B_2 zu Brennpunkten hat, die Hauptachse d besitzt und die Wälzebene $x=0$ im Zentralpunkt 0 berührt. Auch dieser Sachverhalt lässt sich elementar einsehen, wenn man das Antiparallelogramm $A_1 B_2 A_2 B_1$ ins Auge fasst und die Konstanz der Streckensumme $A_1 O + O B_2 = A_1 O + O B_1 = A_1 B_1 = d$ beachtet. -- Die Berührungsstrecke des Ellipsoids (5.12) mit der Torsse Θ ist übrigens eine zu q und damit auch zur Tennisballkurve affine Raumquartik (Abb. 5). Längs dieser Kurve wälzt sich das Ellipsoid auf dem zum Gehängglied gehörenden spiegelkongruenten Ellipsoid ab.

Literatur

- [1] BENNETT G.T., The skew isogram mechanism. Proc. London Math. Soc., 13, 1913, 151-173.
- [2] BRÁT V., A six-link spatial mechanism. J. Mechanisms, 4, 1969, 325-336.
- [3] BRICARD R., Lecons de cinématique, II. Gauthier-Villars, Paris, 1927, p.316.
- [4] GOLDBERG M., New five-bar and six-bar linkages in three dimensions. Bull. Amer. Math. Soc., 45, 1939, 666.
- [5] KUNZE S., STACHEL H., Über ein sechsgliedriges räumliches Getriebe. Elem. Math., 29, 1974, 25-32.
- [6] WUNDERLICH W., Starre, kippende, wackelige und bewegliche Gelenkvierecke im Raum. Elem. Math., 26, 1971, 73-83.
- [7] WUNDERLICH W., Windschiefe Gelenksechsecke mit Schneiden den Diagonalen. Rad. Jugosl. Akad. Zatreb., 1979, 115-127.

UMWENDUNG EINER REGELMÄSSIGEN

SECHSGLIEDRIGEN TETRAEDERKETTE

Zusammenfassung

Betrachtet wird eine geschlossene räumliche sechsgliedrige Kette mit Zylindergelenken, deren Achsen Gemeinlotne haben, welche ein windschiefes Sechseck $A_1B_2A_3B_1A_2B_2$ mit gleicher Seitenlänge bilden. Unter der Voraussetzung, dass benachbarte Achsen orthogonal sind, laufen die sechs Achsen zu dreien in zwei Punkten P und Q zusammen und die Kette ist deformierbar (Abb. 1). Die drei Diagonalen A_iB_j schneiden einander in einem Punkt O auf der Geraden PQ und haben konstante Länge $d = \frac{a}{\sqrt{3}}$. Für einen Beobachter in O beschreiben die Punkte A_1 und B_1 gemeinsam eine zirkulare Sextik k_0 in der Symmetrieebene A_1PQB_1 (Abb. 3). Die Relativbewegung zweier gegenüberliegenden Kettenglieder ist eine symmetrische Rollung mit kongruenten abwickelbaren Axoiden vierter Klasse, die je zwei kongruente Kreise verbünden (Abb. 5). Der halbe Teil $A_1B_2A_3B_1$ der Kette, drehbar gelagert in der festen Ebene A_1PQB_1 , findet Anwendung bei einer Schüttelmaschine (Abb. 4).

MOTIONS OF A REGULAR SIX-LINK

CHAIN OF TETRAHEDRA

Summary

The paper deals with a closed spatial six-link chain with cylindrical joints, whose axes have common perpendiculars forming a skew hexagon $A_1B_2A_3B_1A_2B_2$ with sides of equal length a . Under the assumption that successive axes are orthogonal, the six axes concur three in two points P and Q and the chain is deformable (Fig. 1).

The three diagonals A_iB_j meet in a point O on the line PQ and have constant length $d = \frac{a}{\sqrt{3}}$. For an observer at O the points A_1 and B_1 simultaneously describe a circular sextic k_0 in the plane of symmetry A_1PQB_1 (Fig. 3). The relative motion of two opposite chain links is a symmetric rolling with equal circles (Fig. 5). Axoids of class 4, each one connecting two equal circles (Fig. 5).

The half part $A_1B_2A_3B_1$ of the chain, with pivots at A_1 and B_1 in the fixed plane A_1PQB_1 , is applied in a mixing machine (Fig. 4).